

## ПОБУДОВА РОЗВ'ЯЗКУ ПЛОСКОЇ ЗАДАЧІ ТЕРМОПРУЖНОСТІ ДЛЯ ТЕРМОЧУТЛИВОЇ СМУГИ

*Побудовано розв'язок плоскої задачі термопружності для термочутливої смуги. При цьому розвинуто методіку аналітико-числового розв'язування нелінійної задачі теплопровідності для вказаної області. Відповідну задачу термопружності зведено до інтегрального рівняння Вольтерра другого роду, яке розв'язано методом послідовних наближень.*

**Вступ.** Визначення і дослідження компонентів термопружного стану елементів конструкцій, які піддаються одночасній дії високих температур і значних силових навантажень є актуальною проблемою. Вони можуть бути виконані лише на основі математичних моделей, що враховують залежність характеристик матеріалу від температури [8, 9]. У цьому випадку математична модель поширення тепла є нелінійною задачею теплопровідності [8, 15], а відповідна задача термопружності – крайовою задачею для диференціальних рівнянь зі змінними коефіцієнтами [9]. Для побудови їх розв'язків використовують переважно числові методи [8]. У той же час незаперечну цінність мають аналітичні чи аналітико-числові розв'язки таких задач [15], оскільки є зручними для якісного аналізу й можуть слугувати як критерії оцінки достовірності числових розв'язків.

**Постановка задачі.** Розглянемо віднесену до декартової системи координат  $X, Y$  смугу, виготовлену з ізотропного термочутливого матеріалу (теплофізичні й пружні характеристики змінюються зі зміною температури). Шляхом нормування розмірних змінних за деяким характерним розміром  $l_0$ , перейдемо до безрозмірних змінних  $x = X/l_0, y = Y/l_0$ . Нехай смуга  $D = \{(x, y) \in (-\infty, \infty) \times [0, 2b]\}$  має задану початкову температуру  $t_n$  і, починаючи з часу  $\tau = 0$  через межі  $y = 0, 2b$  конвективно обмінюється теплом із оточуючими середовищами сталих температур  $t_{c1}$  і  $t_{c2}$  відповідно. За таких умов розподіл температури в області  $D$  залежить лише від часу  $\tau$  та координати  $y$  і визначається з нелінійної задачі теплопровідності, яка описується рівнянням

$$\frac{\partial}{\partial y} \left( \lambda_{t_0} \lambda_t^*(T) \frac{\partial T}{\partial y} \right) = l_0^2 C_{V_0} C_V^*(T) \frac{\partial T}{\partial \tau}, \quad (1)$$

умовами теплообміну за законом Ньютона

$$\lambda_{t_0} \lambda_t^*(T) \frac{\partial T}{\partial y} + (-1)^i \alpha_i l_0 (T - T_{ci}) = 0, \quad i = \begin{cases} 1, & y = 0, \\ 2, & y = 2b, \end{cases} \quad (2)$$

та початковою умовою

$$T|_{\tau=0} = T_n, \quad (3)$$

де  $\{T_{ci}, T_n, T\} = \{t_{ci}, t_n, t\}/t_0$ ,  $i = 1, 2$ ;  $t$  – температурне поле;  $t_0$  – вибране нами деяке відлікове значення температури;  $\alpha_1$  і  $\alpha_2$  – відповідно коефіцієнти теплообміну на сторонах  $y = 0, y = 2b$ . Коефіцієнти теплопровідності  $\lambda_t(t)$  та об'ємна теплоємність  $C_V(t)$  – задані функції температури, подані у вигляді  $\chi(t) = \chi_0 \chi^*(T)$ , де величини з нижнім індексом «0» є розмірними, а з верхнім символом «\*» – безрозмірні функції від безрозмірної температури, причому  $\chi^*(T_n) = 1$ , тобто  $\chi_0$  – значення відповідної характеристики матеріалу за початкової температури  $T_n$ .

Вважаємо, що смуга  $D$  знаходиться у пружній рівновазі. Тому розподіл у ній напружень, спричинених температурним полем  $T = T(y, \tau)$ , яке є розв'язком задачі (1)–(3), та зовнішніми зусиллями

$$\sigma_y|_{y=0} = -p_1(x), \quad \sigma_y|_{y=2b} = -p_2(x), \quad \sigma_{xy}|_{y=0} = q_1(x), \quad \sigma_{xy}|_{y=2b} = q_2(x), \quad (4)$$

визначатимемо з плоскої квазістатичної задачі термопружності, яка описується [1, 11] рівняннями рівноваги

$$\frac{\partial \sigma_x}{\partial x} + \frac{\partial \sigma_{xy}}{\partial y} = 0, \quad \frac{\partial \sigma_{xy}}{\partial x} + \frac{\partial \sigma_y}{\partial y} = 0, \quad (x, y) \in D, \quad (5)$$

рівнянням суцільності в деформаціях

$$\frac{\partial^2 e_x}{\partial y^2} + \frac{\partial^2 e_y}{\partial x^2} = \frac{\partial^2 e_{xy}}{\partial x \partial y} \quad (6)$$

та фізичними співвідношеннями

$$\begin{aligned} Ee_x &= \sigma_x - \nu(\sigma_y + \sigma_z) + \alpha ET, & Ee_y &= \sigma_y - \nu(\sigma_x + \sigma_z) + \alpha ET, \\ Ee &= \sigma_z - \nu(\sigma_x + \sigma_y) + \alpha ET, & Ge_{xy} &= \sigma_{xy}. \end{aligned} \quad (7)$$

Тут  $\sigma_j, \sigma_{xy}, j = x, y, z$ , – компоненти тензора напружень;  $E(T), G(T), \nu(T), \alpha(T)$  – відповідно залежні від температури модуль пружності та зсуву й коефіцієнти Пуассона та лінійного температурного видовження, подані у такій же формі, що й теплофізичні характеристики, тобто  $\chi(t) = \chi_0 \chi^*(T)$ . Вважаємо, що зовнішні зусилля (4) задовольняють загальні статичні умови рівноваги та умови  $\lim_{x \rightarrow \pm\infty} \{p_i, q_i\} = 0, i = 1, 2$ . Задачу термопружності (4)–(7) вважаємо квазістатичною [11], тобто залежність напружень від часу приймаємо за параметричну, що дозволяє знехтувати інерційними складовими в рівняннях руху й записувати їх у вигляді (5).

**Розв'язання задачі теплопровідності.** Увівши критерії Біо  $Bi_i = \alpha_i l_0 / \lambda_{t0}$ , число Фур'є  $Fo = a_0 \tau / l_0^2$  ( $a_0 = \lambda_{t0} / C_{V0}$ ) та змінну Кірхгофа у вигляді

$$\Theta = \int_{T_n}^T \lambda_t^*(\gamma) d\gamma, \quad (8)$$

зведемо задачу (1)–(3) до наступної задачі для змінної  $\Theta$ :

$$\frac{\partial^2 \Theta}{\partial y^2} = \frac{1}{a^*(\Theta)} \frac{\partial \Theta}{\partial Fo}, \quad (9)$$

$$\left( \frac{\partial \Theta}{\partial y} - Bi_1 (T(\Theta) - T_{c1}) \right) \Big|_{y=0} = 0, \quad \left( \frac{\partial \Theta}{\partial y} + Bi_2 (T(\Theta) - T_{c2}) \right) \Big|_{y=2b} = 0, \quad (10)$$

$$\Theta|_{Fo=0} = 0, \quad (11)$$

де  $a^* = \lambda_t^* / C_V^*$ ;  $T(\Theta)$  – залежність температури від  $\Theta$ , визначена з інтегрального рівняння (8) для конкретного  $\lambda_t^*(T)$ .

У припущенні, що  $\lambda_t^*(T) \approx C_V^*(T)$  ( $a^* \approx 1$ ), рівняння (9) є лінійним

$$\frac{\partial^2 \Theta}{\partial y^2} = \frac{\partial \Theta}{\partial Fo}. \quad (12)$$

Шляхом заміни [13, 14]

$$T(\Theta)|_{y=0} = (1 + \kappa_1) \Theta|_{y=0} + T_n, \quad T(\Theta)|_{y=2b} = (1 + \kappa_2) \Theta|_{y=2b} + T_n,$$

де  $\kappa_i$ ,  $i = 1, 2$ , – невідомі поки-що параметри, здійснимо лінеаризацію умов (10), звівши їх до вигляду

$$\left( \frac{\partial \Theta}{\partial y} - \text{Bi}_1^* (\Theta - T_{c1}^*) \right) \Big|_{y=0} = 0, \quad \left( \frac{\partial \Theta}{\partial y} + \text{Bi}_2^* (\Theta - T_{c2}^*) \right) \Big|_{y=2b} = 0, \quad (13)$$

де  $\text{Bi}_i^* = (1 + \kappa_i) \text{Bi}_i$ ,  $T_{ci}^* = (T_{ci} - T_n)/(1 + \kappa_i)$ ,  $i = 1, 2$ .

Для розв'язання задачі (11)–(13) використаємо інтегральне перетворення Лапласа [7, 10] за часовою змінною. Розв'язавши задачу в просторі зображень і повернувшись до оригіналу з використанням теореми про розклад мероморфної функції в околі ізольованого полюса, знайдемо змінну Кірхгофа у вигляді

$$\begin{aligned} \Theta = & \frac{\text{Bi}_1 \bar{T}_{c1} (1 + \text{Bi}_2^* (2b - y)) + \text{Bi}_2 \bar{T}_{c2} (1 + \text{Bi}_1^* y)}{\text{Bi}_1^* + \text{Bi}_2^* + 2b \text{Bi}_1^* \text{Bi}_2^*} - \\ & - \sum_{n=1}^{\infty} \frac{2b \text{Bi}_1 \bar{T}_{c1} \left( \cos \mu_n \frac{2b-y}{2b} + \frac{2\text{Bi}_2^* b}{\mu_n} \sin \mu_n \frac{2b-y}{2b} \right) \exp \left( -\frac{\mu_n^2}{4b^2} \text{Fo} \right)}{\mu_n^2 \left( \frac{\sin \mu_n}{\mu_n} + \frac{\mu_n^2 - 4\text{Bi}_1^* \text{Bi}_2^* b^2}{2\mu_n} \left( \cos \mu_n - \frac{\sin \mu_n}{\mu_n} \right) \right) + (\text{Bi}_1^* + \text{Bi}_2^*) \frac{b \sin \mu_n}{\mu_n}} - \\ & - \sum_{n=1}^{\infty} \frac{2b \text{Bi}_2 \bar{T}_{c2} \left( \cos \mu_n \frac{y}{2b} + \frac{2\text{Bi}_1^* b}{\mu_n} \sin \mu_n \frac{y}{2b} \right) \exp \left( -\frac{\mu_n^2}{4b^2} \text{Fo} \right)}{\mu_n^2 \left( \frac{\sin \mu_n}{\mu_n} + \frac{\mu_n^2 - 4\text{Bi}_1^* \text{Bi}_2^* b^2}{2\mu_n} \left( \cos \mu_n - \frac{\sin \mu_n}{\mu_n} \right) \right) + (\text{Bi}_1^* + \text{Bi}_2^*) \frac{b \sin \mu_n}{\mu_n}}, \quad (14) \end{aligned}$$

де  $\bar{T}_{ci} = T_{ci} - T_n$ ,  $i = 1, 2$ ,  $\mu$  – корені характеристичного рівняння

$$\text{ctg} \mu = \frac{\mu^2 - 4b^2 \text{Bi}_1^* \text{Bi}_2^*}{2b(\text{Bi}_1^* + \text{Bi}_2^*)\mu}.$$

Якщо сторона  $y = 0$  є теплоізолюваною, тобто  $\text{Bi}_1 = 0$ , то

$$\Theta = T_{c2}^* - 2b \text{Bi}_2 \bar{T}_{c2} \sum_{n=1}^{\infty} \frac{\cos \mu_n \frac{y}{2b} \exp \left( -\frac{\mu_n^2}{4b^2} \text{Fo} \right)}{\mu_n^2 \left( \left( 1 + b \text{Bi}_2^* - \frac{\mu_n}{2} \right) \frac{\sin \mu_n}{\mu_n} + \frac{\mu_n \cos \mu_n}{2} \right)},$$

де  $\mu$  – корені характеристичного рівняння

$$\text{ctg} \mu = \frac{\mu}{2b \text{Bi}_2^*}.$$

Якщо, наприклад,  $\lambda_t^*(t) = 1 + k_\lambda (T - T_n)$ , то  $\Theta = (T - T_n) + k_\lambda (T - T_n)^2 / 2$ , звідки отримуємо формулу для обчислення температури

$$T = \frac{\sqrt{1 + 2k_\lambda \Theta} - 1}{k_\lambda} + T_n. \quad (15)$$

Вираз змінної Кірхгофа (14), крім вхідних даних задачі теплопровідності, містить два вільних параметри  $\kappa_i$ ,  $i = 1, 2$ , які використаємо для задоволення з заданою точністю нелінійних граничних умов (10). Враховуючи виконання умов (10) і вираз для температури (15), для знаходження параметрів  $\kappa_i$  отримуємо систему рівнянь

$$\left( k_\lambda (1 + \kappa_i)^2 \Theta^2 + 2\kappa_i \Theta \right) \Big|_{\substack{y=0, i=1 \\ y=2b, i=2}} = 0. \quad (16)$$

**Розв'язок задачі термопружності.** Визначимо напруження у смузі  $D$ , викликані знайденим температурним полем і прикладеними зовнішніми зусиллями (4). Для цього зведемо задачу (4)–(7), використовуючи метод безпосереднього інтегрування рівнянь рівноваги й суцільності в напруженнях [4, 6], до двох

ключових рівнянь на так звані визначальні напруження, за які виберемо  $\sigma_y$  й сумарні напруження  $\sigma = \sigma_x + \sigma_y$ . Щоб отримати перше ключове рівняння, з використанням співвідношень (7) подамо рівняння суцільності (6) у напруженнях:

$$\frac{\partial^2}{\partial y^2} \left( \frac{1-\nu}{2G} \sigma + \alpha(1+\nu)T \right) + \frac{1-\nu}{2G} \frac{\partial^2 \sigma}{\partial x^2} = \frac{\sigma_y}{2} \frac{d^2}{dy^2} \left( \frac{1}{G} \right), \quad (17)$$

беручи до уваги, що температурне поле, а отже, й залежні від нього пружні характеристики матеріалу, залежать лише від змінної  $y$ . Додавши  $\partial^2 \sigma_y / \partial x^2$  до обох частин співвідношення  $\partial^2 \sigma_x / \partial x^2 = \partial^2 \sigma_y / \partial y^2$ , яке знайдено з рівнянь (5) шляхом вилучення дотичних напружень, отримуємо друге ключове рівняння

$$\Delta \sigma_y = \frac{\partial^2 \sigma}{\partial x^2}. \quad (18)$$

Для відшукування визначальних напружень слід доповнити рівняння (17), (18) двома крайовими умовами (4) для  $\sigma_y$ . Ще дві умови для похідних від цих напружень

$$\left. \frac{\partial \sigma_y}{\partial y} \right|_{y=0} = -\frac{dq_1}{dx}, \quad \left. \frac{\partial \sigma_y}{\partial y} \right|_{y=2b} = -\frac{dq_2}{dx} \quad (19)$$

отримуємо з рівнянь рівноваги (5) при  $y = 0, 2b$  з урахуванням крайових умов (4) для дотичних напружень.

Для знаходження визначальних напружень застосуємо до рівнянь (17), (18) та умов (4), (19) інтегральне перетворення Фур'є [2] за координатою  $x$ . Тоді у просторі зображень одержимо систему рівнянь

$$\frac{d^2 \bar{\sigma}_y}{dy^2} - s^2 \bar{\sigma}_y = -s^2 \bar{\sigma},$$

$$\frac{d^2}{dy^2} \left( \frac{1-\nu}{2G} \bar{\sigma} \right) - s^2 \frac{1-\nu}{2G} \bar{\sigma} = \frac{\bar{\sigma}_y}{2} \frac{d^2}{dy^2} \left( \frac{1}{G} \right) - 2\pi \delta(s) \frac{d^2}{dy^2} (\alpha(1+\nu)T) \quad (20)$$

та умов

$$\bar{\sigma}_y|_{y=0} = -\bar{p}_1, \quad \bar{\sigma}_y|_{y=2b} = -\bar{p}_2, \quad \left. \frac{d\bar{\sigma}_y}{dy} \right|_{y=0} = -is\bar{q}_1, \quad \left. \frac{d\bar{\sigma}_y}{dy} \right|_{y=2b} = -is\bar{q}_2. \quad (21)$$

Тут величини з рискою – трансформанти Фур'є

$$\bar{f} = \int_{-\infty}^{\infty} f \exp(-isx) dx,$$

$s$  – параметр цього інтегрального перетворення,  $\delta(s)$  – дельта-функція Дірака,  $i = \sqrt{-1}$ .

Розв'язавши перше з рівнянь (20) з урахуванням двох перших умов (21), знаходимо

$$\bar{\sigma}_y = -\bar{p}_1 \operatorname{ch} sy + \left( \bar{p}_1 \operatorname{ch} 2bs - \bar{p}_2 + s \int_0^{2b} \bar{\sigma}(\xi) \operatorname{sh} s(2b - \xi) d\xi \right) \frac{\operatorname{sh} sy}{\operatorname{sh} 2bs} - s \int_0^y \bar{\sigma}(\xi) \operatorname{sh} s(y - \xi) d\xi. \quad (22)$$

З вимоги, щоб вираз (22) задовольняв дві останні з умов (21), знаходимо дві інтегральні умови

$$\begin{aligned} s \int_0^{2b} \bar{\sigma}(\xi) \operatorname{sh} s \xi d\xi &= \bar{p}_1 - \bar{p}_2 \operatorname{ch} 2bs + i\bar{q}_2 \operatorname{sh} 2bs, \\ s \int_0^{2b} \bar{\sigma}(\xi) \operatorname{ch} s \xi d\xi &= -\bar{p}_2 \operatorname{sh} 2bs - i\bar{q}_1 + i\bar{q}_2 \operatorname{ch} 2bs. \end{aligned} \quad (23)$$

З урахуванням формул (23) вираз (22) для  $\bar{\sigma}_y$  запишемо у простішому вигляді:

$$\bar{\sigma}_y = -\bar{p}_1 \operatorname{ch} sy - i\bar{q}_1 \operatorname{sh} sy - s \int_0^{2b} \bar{\sigma}(\xi) \operatorname{sh} s(y - \xi) d\xi. \quad (24)$$

Розв'язавши друге з рівнянь (20), отримаємо

$$\bar{\sigma} = \frac{2G}{1-\nu} \left\{ A \operatorname{ch} sy + B \operatorname{sh} sy + \Psi_T(y) + \frac{1}{2s} \int_0^y \frac{d^2}{d\xi^2} \left( \frac{1}{G} \right) \bar{\sigma}_y(\xi) \operatorname{sh} s(y - \xi) d\xi \right\}, \quad (25)$$

де

$$\Psi_T(y) = -\frac{2\pi\delta(s)}{s} \int_0^y \frac{d^2}{d\xi^2} (\alpha(1+\nu)T(\xi)) \operatorname{sh} s(y - \xi) d\xi.$$

Підставивши співвідношення (24) у (25), отримаємо

$$\bar{\sigma} = \frac{2G}{1-\nu} \left\{ A \operatorname{ch} sy + B \operatorname{sh} sy + \Psi_T(y) + \Psi_p(y) + \Psi_q(y) - \frac{1}{2} \int_0^y \frac{d^2}{d\xi^2} \left( \frac{1}{G(\xi)} \right) \operatorname{sh} s(y - \xi) \int_0^\xi \bar{\sigma}(\eta) \operatorname{sh} s(\xi - \eta) d\eta d\xi \right\}, \quad (26)$$

де

$$\begin{aligned} \Psi_p(y) &= -\frac{\bar{p}_1}{2s} \int_0^y \frac{d^2}{d\xi^2} \left( \frac{1}{G(\xi)} \right) \operatorname{ch} s \xi \operatorname{sh} s(y - \xi) d\xi, \\ \Psi_q(y) &= -\frac{i\bar{q}_1}{2s} \int_0^y \frac{d^2}{d\xi^2} \left( \frac{1}{G(\xi)} \right) \operatorname{sh} s \xi \operatorname{sh} s(y - \xi) d\xi, \end{aligned}$$

а сталі  $A$ ,  $B$  визначаємо з інтегральних умов (23). Змінивши порядок інтегрування в інтегралі з формули (26), для зображення Фур'є сумарних напружень отримаємо таке інтегральне рівняння Вольтерра другого роду:

$$\bar{\sigma} = \frac{2G}{1-\nu} \left\{ A \operatorname{ch} sy + B \operatorname{sh} sy + \Psi_T(y) + \Psi_p(y) + \Psi_q(y) - \frac{1}{2} \int_0^y \bar{\sigma}(\eta) \Re d\eta \right\}, \quad (27)$$

де

$$\Re = \Re(\eta, \xi, y) = \int_\eta^y \frac{d^2}{d\xi^2} \left( \frac{1}{G(\xi)} \right) \operatorname{sh} s(y - \xi) \operatorname{sh} s(\xi - \eta) d\xi.$$

Для побудови розв'язку рівняння (27) використаємо метод послідовних наближень [3], аналогічно, як це зроблено у роботах [5, 16]. Згідно з цим методом  $\bar{\sigma} = \lim_{n \rightarrow \infty} \bar{\sigma}_n$ , де

$$\sigma_n = \frac{2G}{1-\nu} \left\{ A_n \operatorname{ch} sy + B_n \operatorname{sh} sy + \Psi_T(y) + \Psi_p(y) + \Psi_q(y) - \frac{1}{2} \int_0^y \bar{\sigma}_{n-1}(\eta) \Re d\eta \right\}, \quad (28)$$

а для визначення сталих  $A_1, B_1$  використовуємо формули (23) при  $\bar{\sigma}_0 = 0$ .

Знайшовши у такий спосіб зображення Фур'є визначального напруження  $\bar{\sigma}$ , з формули (24) визначимо  $\bar{\sigma}_y$ . Самі ж визначальні напруження  $\sigma$  та  $\sigma_y$  знайдемо з використанням оберненого інтегрального перетворення Фур'є [2]:

$$\{\sigma, \sigma_y\} = \frac{1}{2\pi} \int_{-\infty}^{\infty} \{\bar{\sigma}, \bar{\sigma}_y\} \exp(isx) ds. \quad (29)$$

Після відшукування визначальних напружень  $\sigma$  та  $\sigma_y$  напруження  $\sigma_x$  знайдемо за формулою

$$\sigma_x = \sigma - \sigma_y, \quad (30)$$

а дотичні  $\sigma_{xy}$  – з використанням формули

$$4\sigma_{xy} = q_1 + q_2 - \int_0^{2b} \frac{\partial \sigma_x}{\partial x} \operatorname{sgn}(y - \xi) d\xi - \int_{-\infty}^{\infty} \frac{\partial \sigma_y}{\partial y} \operatorname{sgn}(x - \eta) d\eta, \quad (31)$$

яку отримано шляхом інтегрування рівнянь рівноваги (5).

**Результати числового аналізу.** Досліджували термонапружений стан сталльної смуги  $D$ , для якої  $b = 1$ , а теплофізичні й пружні характеристики залежать від безрозмірної температури [17]:  $\lambda_t(T) = 41.51 (1 - 0.27(T - T_n))$  [W/m K],  $\alpha(T) = 17.08 \cdot 10^{-6} (1 + 0.77(T - T_n))$  [K<sup>-1</sup>],  $\nu(T) = 0.4 (1 - 0.2(T - T_n))$ ,  $G(T) = 0.74 \cdot 10^5 (1 + 0.46(T - T_n) + 0.56(T - T_n)^2)$  [MPa]. Надалі, коли говоритимемо про змінні характеристики матеріалу, матимемо на увазі їх задання за наведеними формулами, а коли говоритимемо про постійні, – тоді йтиметься про такі значення цих характеристик, які відповідають початковому значенню температури  $T_n$ .

Нехай термонапружений стан спричинений температурним полем (15) за умов асимптотичного теплового режиму [12], тобто за досить великих значень  $Fo$ , коли внеском ряду у формулі для змінної Кірхгофа (14) можна знехтувати. Тоді

$$\Theta = \frac{Bi_1 \bar{T}_{c1} (1 + Bi_2^* (2b - y)) + Bi_2 \bar{T}_{c2} (1 + Bi_1^* y)}{Bi_1^* + Bi_2^* + 2b Bi_1^* Bi_2^*}. \quad (32)$$

Розрахунки виконано за температур  $t_{c2} = t_n = 273$  K,  $t_{c1} = 673$  K. Значення температури  $t_n$  вибрано за відлікове:  $t_0 = 273$  K, завдяки чому відповідні безрозмірні значення температури є такими:  $T_n = T_{c2} = 1$ ,  $T_{c1} = 2.465$ . Якщо, наприклад,  $Bi_1 = 1.0$ ,  $Bi_2 = 0.1$  та  $k_\lambda = -0.27$ , то за змінних теплофізичних характеристик матеріалу із системи рівнянь (16), де  $\Theta$  має вигляд (32), знаходимо параметри  $\kappa_1 = 0.22$ ,  $\kappa_2 = 0.17$ . Тоді змінна Кірхгофа  $\Theta = 1.11 - 0.1y$ , а безрозмірна температура

$$T = -3.7\sqrt{0.4 + 0.06y} + 4.7, \quad (33)$$

розподіл якої показано на рис. 1 суцільною лінією. Зауважимо, що у випадку постійних теплофізичних характеристик матеріалу легко знаходимо температурне поле у вигляді

$$T = 2.35 - 0.11y \quad (34)$$

(на рис. 1 показано штриховою лінією). Як відомо [1], у вільному від силових навантажень тілі температурне поле (34), яке є лінійною функцією координати, не спричинює термонапружень за сталих пружних характеристик матеріалу.

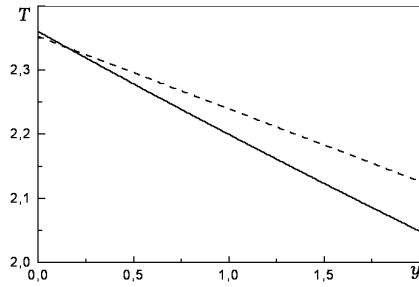


Рис. 1

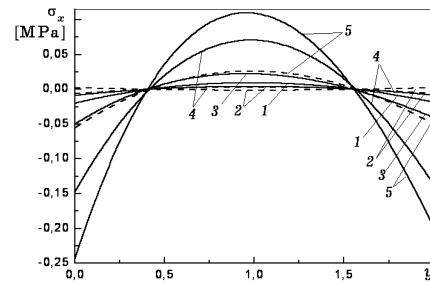


Рис. 2

Визначаючи термонапружений стан у смугі  $D$ , вважаємо, що напруження спричинені лише температурним полем, тобто  $p_i = q_i = 0$ ,  $i = 1, 2$ .

Для розрахунку напружень, обмежилися значенням  $n = 1$  у формулі (28), оскільки за розглянутих у прикладі умов задачі точного розв'язку досягаємо вже першим наближенням.

На рис. 2 наведено розподіли напружень  $\sigma_x$  за змінною  $y$  у випадку сталих пружних характеристик матеріалу (крива 1), за змінних лише коефіцієнта Пуассона (криві 2), модуля зсуву (крива 3), коефіцієнта лінійного температурного видовження (криві 4) і, нарешті, коли всі пружні характеристики матеріалу залежать від температури (криві 5). При цьому криві, накреслені суцільною лінією, відповідають температурному полю (33), а штриховою – (34). Для усіх перелічених випадків напруження  $\sigma_x$  біля країв смуги є стискуючими, а ближче до середини – розтягуючими. Як бачимо, температурне поле (34) викликає напруження в області  $D$  тільки за змінних коефіцієнтів Пуассона або лінійного температурного видовження, або ж усіх пружних характеристик у комплексі, а залежність від температури самого лише модуля зсуву не призводить до виникнення напружень. У випадку температурного поля (33) напруження наявні як для нетермочутливого тіла (крива 1), так і за залежних від температури хоча б однієї чи усіх пружних характеристик матеріалу (криві 2–5).

Очевидною є суттєва відмінність між напруженнями, розрахованими з урахуванням термочутливості матеріалу й без такого врахування. Якщо за сталих усіх пружних характеристик матеріалу смуги термонапруження відсутні, то у випадку термочутливого матеріалу наявний напружений стан. Тому робимо висновок, що при дослідженні розподілів термонапружень у реальних термочутливих тілах моделювання їх нетермочутливими може призвести до значних неточностей.

Як бачимо з рисунка, напруження  $\sigma_x$  є самозрівноваженими для усіх випадків пружних характеристик. Цей висновок можна також обґрунтувати теоретично, використавши інтегральні умови рівноваги, наведені в додатку 2 роботи [6], які для нашої задачі є однорідними:

$$\int_0^{2b} \sigma_x dy = \int_0^{2b} y \sigma_x dy = \int_0^{2b} \sigma_{xy} dy = \int_{-\infty}^{+\infty} \sigma_y dx = \int_{-\infty}^{+\infty} x \sigma_y dx = \int_{-\infty}^{+\infty} \sigma_{xy} dx = 0. \quad (35)$$

Оскільки термонапружений стан смуги залежить тільки від змінної  $y$ , то на основі умов (35) знаходимо  $\sigma_y = \sigma_{xy} \equiv 0$ , що підтвердили й числові розрахунки за формулами (29)–(31).

1. Боли Б., Уэйнер Дж. Теория температурных напряжений. – М.: Мир, 1964. – 517 с.
2. Брычков Ю. А., Прудников А. П. Интегральные преобразования обобщенных функций. – М.: Наука, 1977. – 288 с.

3. Верлань А. Ф., Сизиков В. С. Интегральные уравнения: методы, алгоритмы, программы: Справочное пособие. – Киев: Наук. думка, 1986. – 542 с.
4. Вігак В. М. Прямий метод інтегрування рівнянь плоских задач пружності і термопружності // Доп. НАН України. – 1998. – № 12. – С. 62–67.
5. Вігак В. М., Калиняк Б. М. Зведення одновимірних задач пружності та термопружності для неоднорідних і термочутливих тіл до інтегральних рівнянь другого роду // Доп. НАН України. – 1998. – № 11. – С. 60–67.
6. Вігак В. М., Юзв'як М. Й. Метод прямого інтегрування рівнянь плоских задач пружності та термопружності для необмежених областей // Крайові задачі для диференціальних рівнянь. – 1999. – Вип. 4. – С. 9–33.
7. Деч Г. Руководство к практическому применению преобразования Лапласа. – М.: Наука, 1965. – 288 с.
8. Коздоба Л. А. Методы решения нелинейных задач теплопроводности. – М.: Наука, 1975. – 226 с.
9. Ломакин В. А. Теория упругости неоднородных тел. – М.: Изд-во МГУ, 1976. – 367 с.
10. Лыков А. В. Теория теплопроводности. – М.: Высш. шк., 1967. – 600 с.
11. Новацкий В. Теория упругости. – М.: Мир, 1975. – 872 с.
12. Підстригач Я. С. Температурне поле в стінках постійної товщини при асимптотичному тепловому режимі // Температурні напруження в тонкостінних конструкціях. – Київ: Вид-во АН УРСР, 1959. – С. 109–122.
13. Попович В. С. О решении задач теплопроводности термочувствительных тел, нагреваемых путем конвективного теплообмена // Мат. методы и физ.-мех. поля. – 1988. – Вып. 28. – С. 83–86.
14. Попович В. С. Аналітико-числовий розв'язок задачі теплопровідності термочутливої стінки за умов конвективного теплообміну // Мат. методи та фіз.-мех. поля. – 2004. – 47, № 3. – С. 199–204.
15. Постольник Ю. С., Огурцов А. П. Металургійна термомеханіка. – Дніпропетровськ: Системні технології, 2002. – 633 с.
16. Vihak V. M., Kalyniak B. M. Reduction of one-dimensional elasticity and thermoelasticity problems in inhomogeneous and thermal sensitive solids to the solution of integral equation of Volterra type // Proc. 3<sup>rd</sup> Int. Congr. «Thermal Stresses-99»: Cracow (Poland). – 1999. – P. 457–460.
17. Nowinski J. Transient thermoelastic problem for an infinite medium with a spherical cavity exhibiting temperature dependent properties // J. Appl. Mech. – 1962. – 29, No. 2. – P. 197–205.

## ПОСТРОЕНИЕ РЕШЕНИЯ ПЛОСКОЙ ЗАДАЧИ ТЕРМОУПРУГОСТИ ДЛЯ ТЕРМОЧУВСТВИТЕЛЬНОЙ ПОЛОСЫ

*Построено решение плоской задачи термоупругости для термочувствительной полосы. При этом развита методика аналитико-числового решения нелинейной задачи теплопроводности для указанной области. Соответствующая задача термоупругости сведена к интегральному уравнению Вольтерра второго рода, которое решено методом последовательных приближений.*

## CONSTRUCTION OF SOLUTION TO THE PLANE THERMOELASTICITY PROBLEM FOR A THERMOSENSITIVE STRIP

*The solution to the plane thermoelasticity problem for a thermosensitive strip is constructed. Thus the technique of the analytical-numerical solving of a nonlinear heat conductivity problem for the specified domain is advanced. The corresponding thermoelasticity problem is reduced to integral Volterra type equation of the second kind which is solved by a iteration method.*

Ін-т прикл. проблем механіки і математики  
ім. Я. С. Підстригача НАН України, Львів

Одержано  
01.09.03